

مقایسه میزان دقت برخی از روش‌های برآورد فرسایش خاک و تولید رسوب در اراضی مرتعی

سید حمیدرضا صادقی^۱، حمیدرضا پورقاسمی و مجید محمدی^۲

چکیده

آمار دقیق در مورد میزان رسوب حاصل از فرسایش خاک در حوزه‌های آبخیز برای طراحی سازه‌ها به منظور حفاظت آب و خاک ضروری است. از آنجایی که اندازه‌گیری رسوب در بسیاری از حوزه‌های آبخیز انجام نمی‌گیرد، لذا تهیه و یا شناسایی روش‌های دقیق و مبتنی بر داده‌های موجود همواره مورد نیاز مهندسین و مدیران می‌باشد. در این تحقیق، سعی گردیده تا کاربرد برخی از مدل‌های برآورد فرسایش خاک و تولید رسوب شامل USLE-M, MUSLE-E, MUSLT, AOF, MUSLE-S, USLE و AUSLE در کرت استاندارد در تیمار مرتع و در مقیاس رگبار مورد سنجدش قرار گیرد. برای این منظور کلیه متغیرهای مورد نیاز و ورودی مدل‌های مذکور در سه کرت مستقر در ایستگاه تحقیقات منابع طبیعی خسپیجان در شهرستان اراک محاسبه و به منظور اجرای مدل‌های آماری مورد استفاده قرار گرفت. نتایج به دست آمده از کاربرد هر یک از مدل‌ها با خروجی‌های رسوب اندازه‌گیری شده ۱۲ رگبار مورد ارزیابی قرار گرفت. نتایج ارزیابی ضمن تایید اختلاف معنی‌دار آماری بین مقادیر فرسایندگی مدل‌های مورد استفاده، تنها بر وجود ارتباط معنی‌دار بین برآوردهای مدل E و MUSLE-E مقادیر مشاهده‌ای رسوب رگبارها با ضریب همبستگی ۰/۹۹۴ دلالت دارد.

واژه‌های کلیدی: فرسایندگی، مدل‌های فرسایش خاک، تخمین رسوب، پلات‌های فرسایش، مرتع

۱- دانشیار دانشگاه تربیت مدرس نور، E-mail: sadeghi@modares.ac.ir

۲- دانشجویان کارشناسی ارشد آبخیزداری، دانشگاه تربیت مدرس نور

فرسایندگی باران و رواناب می‌باشد. تغییر پذیری زیاد زمانی و مکانی عامل فرسایندگی و همچنین نقش آن به عنوان یکی از ورودی‌های مهم به سامانه‌های آبخیز برای انجام فرآیند فرسایش خاک از دلایل اصلی ضرورت توجه به این عامل در برآورد صحیح فرسایش خاک می‌باشد (۱۴ و ۲۰). به همین دلیل، در تحقیق حاضر تنها از روش‌هایی استفاده شده است که هر یک به شیوه‌ای خاص مبادرت به برآورد عامل فرسایندگی نموده و سپس در ترکیب با سایر متغیرها از مدل USLE برای تخمین فرسایش خاک استفاده می‌نماید. روابط متعددی برای تخمین مقدار عامل فرسایندگی باران تهیه و معرفی گردیده‌اند که نیاز به داده‌های ورودی متفاوت داشته و به همین دلیل دامنه استفاده و همچنین دقت آنها بسیار متغیر می‌باشد (۱۵ و ۱۹). ولی تاکنون مقایسه مدون و جامع بسیار محدودی از توانمندی آنها در تامین یکی از اطلاعات مهم ورودی (عامل فرسایندگی) به مدل‌های تخمین فرسایش خاک صورت پذیرفته و به همین دلیل در بعضی از موارد مدل‌های مذکور بدون توجه به شرایط خاص کاربرد آنها مورد استفاده قرار گرفته‌اند (۲، ۴ و ۱۱). همچنین تخمین میزان تولید رسوب طی یک رگبار به ویژه در مناطق خشک و نیمه خشک به دلیل تعداد کم و در عین حال شدت زیاد رگبارها و طبعاً توان بالای آنها در هدرفت خاک بسیار حائز اهمیت بوده و بعضاً استفاده از مدل نامناسب، تخمین بسیار بالا و یا بسیار پائین را به دنبال داشته است. از این رو در تحقیق

مقدمه
تحقیقات و بررسی‌های گستره‌ای در زمینه علت و برآورد فرسایش خاک در حوزه‌های آبخیز از سال‌ها پیش آغاز و نهایتاً منجر به تهیه رابطه جهانی فرسایش خاک^۱ (۲۴ و ۲۵) شده که به طور گسترده در سرتاسر جهان برای تخمین سالانه فرسایش خاک استفاده می‌شود (۱۰). نسخ متعددی برای رابطه جهانی فرسایش خاک ارائه شده و کاربرد آنها در نقاط مختلف جهان مورد ارزیابی قرار گرفته است (۱۹). ویلیامز و برنت^۲ (۱۹۷۲) در امریکا نشان دادند که این رابطه تنها قادر است ۴۷٪ از تغییرات در میزان تولید رسوب در رگبارها را ارزیابی نماید (۲۲). شاهویی (۱۳۷۱) نیز در حوزه آبخیز قشلاق از رابطه جهانی فرسایش خاک برای تخمین میزان رسوب در هر رگبار استفاده نمود و عدم توانایی آن مورد تأیید قرار گرفت (۳). همچنین عدم توانایی USLE در تخمین مقدار رسوب انتقالی طی رگبارها توسط کینل و ریس^۳ (۱۹۹۸) در حوزه آبخیز راکی کریک^۴ در استرالیا و صادقی و همکاران (۲۰۰۴) در حوزه آبخیز امامه در ایران تایید شده است (۱۳ و ۱۹). اگر چه روش‌های مختلفی برای تخمین فرسایش خاک و یا تولید رسوب ارائه شده است لکن عمدۀ آنها بر مدل جهانی فرسایش خاک استوار بوده و تفاوت بسیاری از آنها در نحوه محاسبه و یا روش برآورد عامل

^۱ - Universal Soil Loss Equation^۲ - Williams & Berndt^۳ - Kinnell & Risse^۴ - Rocky Creek

و جنگل‌ها و یا تلفیق این دو عامل با یکدیگر در استفاده از آن در حوزه‌های آبخیز جنگلی مدنظر قرار گرفته است که بعضاً نیازمند اطلاعات دقیق در رابطه با وضعیت تاج پوشش و درصد پوشش گیاهی سطح زمین می‌باشند.^(۱۸)

^۲- مدل MUSLE-S

اساس مدل MUSLE-S نیز مدل USLE بوده که عامل فرسایندگی رواناب در این مدل به منظور برآورد رسوب ناشی از رگبارها بر اساس رابطه زیر محاسبه شده است (۲۳):

$$R=11.8(Q \cdot qp)^{0.56} \quad (4)$$
 که در آن Q حجم رواناب (m^3) و qp دبی اوج رواناب ($m^3 \cdot s^{-1}$) است.

^۳- مدل AOF

اساس مدل AOF نیز مدل USLE بوده که عامل فرسایندگی در این مدل بر اساس رابطه زیر محاسبه شده و بقیه متغیرها مشابه با رابطه جهانی فرسایش خاک می‌باشد (۱۶ و ۱۷).

$$R=0.646E+0.45(Q \cdot qp)^{0.33} \quad (5)$$

که در آن E، Q و qp مشابه با متغیرهای ارائه شده در روابط (۳) و (۴) می‌باشد.

^۴- مدل MUSLT

اساس مدل USLE بوده که مقدار عامل فرسایندگی در این مدل برای برآورد رسوب

حاضر سعی بر آن است تا قابلیت برخی از روش‌های برآورد فرسایش خاک و تولید رسوب که عمدتاً از لحاظ روش و نحوه برآورد عامل فرسایندگی متفاوت هستند در کاربری مرتع به عنوان یکی از مهم‌ترین اکوسیستم‌های موجود در کشور به شرح زیر مورد مقایسه و ارزیابی قرار گیرند.

روش‌های برآورد فرسایش و رسوب مورد استفاده در تحقیق

۱- مدل USLE

مدل جهانی فرسایش خاک به صورت رابطه زیر و برای تخمین میزان متوسط فرسایش سالانه خاک ارائه شده و کاربرد آن در خصوص برآورد رسوب ناشی از رگبارها نیز مورد ارزیابی قرار گرفته است (۴ و ۱۹).

$$A=R K L S C P \quad (1)$$

که در آن R عامل فرسایندگی، K عامل فرسایش پذیری خاک، L عامل طول شیب، S عامل تندری شیب، C عامل مدیریت زراعی و P عامل مدیریت اراضی می‌باشد. عامل فرسایندگی (R) با استفاده از انرژی جنبشی $E \text{ (cm.h}^{-1}\text{)}$ و شدت بارندگی $I \text{ (t.m.ha}^{-1}\text{)}$ همچنین حداکثر شدت نیم ساعته بارش $I_{30} \text{ (cm.h}^{-1}\text{)}$ به صورت زیر محاسبه می‌گردد.

$$R=EI_{30}/100 \quad (2)$$

$$E=210.3+89.7\log I \quad (3)$$

در برخی از مراجع (۹) نیز جایگزینی فاکتورهای C و P با V_m^1 در قالب فاکتور مدیریت پوشش گیاهی برای استفاده در مرتع

² MUSLE for Sediment Yield

³ Onstad and Foster Model

¹ Vegetation Management

مواد و روش‌ها

تحقیق حاضر در ایستگاه تحقیقات منابع-

طبیعی خسیجان در ۶۰ کیلومتری شهرستان اراک در طول شرقی ۴۹ درجه و ۲۲ دقیقه تا ۴۹ درجه و ۲۴ دقیقه و عرض شمالی ۳۴ درجه و ۸ دقیقه تا ۳۴ درجه و ۱۰ دقیقه اجرا شده است. ارتفاع آن از سطح دریا ۱۸۵۰ متر، بارندگی سالانه ۳۲۱ میلی‌متر، متوسط درجه حرارت ۱۳/۲ درجه سانتی‌گراد، تبخیر و تعرق ۱۵۸۸ میلی‌متر و آب و هوای منطقه طبق روش آمبرژه خشک و سرد می‌باشد (۱).

موقعیت عمومی منطقه مورد مطالعه در شکل ۱ نشان داده شده است.

به منظور سنجش میزان فرسایش و هدررفت خاک، زمینی با شیب٪.۹ در دامنه شمالی مراتع مورد بررسی انتخاب گردید. در این زمین سه کرت استاندارد با ابعاد ۲۲/۱ در ۱/۸ متر مشخص و اطراف کرت‌ها با ورق‌های گالوانیزه محصور شد (۸). ارتفاع ورق‌ها ۳۰ سانتی‌متر بوده و ۱۵ سانتی‌متر آن در زمین فرو شد. در انتهای هر کرت لوله خروجی رواناب تعییه که به ظروف مدرج جمع‌آوری-کننده رواناب و رسوب هدایت شد (شکل ۱).

رگبار بر اساس رابطه زیر و متغیرهای مشابه MUSLE-S محاسبه می‌شود (۱۶).

$$R=2.5(Q qp)^{0.5} \quad (6)$$

^۱MUSLE-E

اساس مدل USLE بوده که عامل فرسایندگی در این مدل به منظور برآورد فرسایش ناشی از رگبار بر اساس رابطه زیر محاسبه می‌شود (۱۶).

$$R=1.586(Q qp)^{0.56} DA^{0.12} \quad (7)$$

که در آن Q و qp مشابه با مدل MUSLE-S و DA مساحت منطقه زهکشی (ha) است.

^۲USLE-M

اساس این مدل نیز USLE بوده که مقدار فرسایندگی رواناب و بارش در این مدل بر اساس رابطه زیر محاسبه می‌شود (۱۱ و ۱۳).

$$R=Q_{REI} I_{30} \quad (8)$$

که در آن QR ضریب رواناب در هر رگبار، E انرژی جنبشی رگبار ($t.m.h^{-1}$) و I_{30} حداکثر شدت نیم ساعته بارش ($cm.h^{-1}$) می‌باشد.

^۳AUSLE

اساس مدل AUSLE نیز مدل USLE بوده اما اختلاف اساسی بین دو مدل در نحوه برآورد عامل توپوگرافی (LS) می‌باشد که از رابطه زیر به دست می‌آید (۱۵).

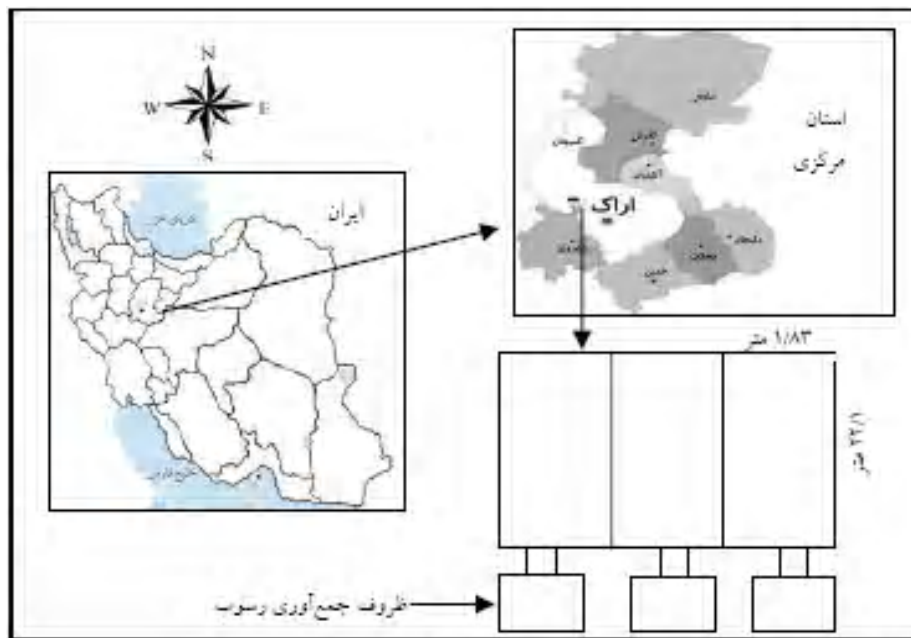
$$LS=(As/22.13)^{0.4}(\sin\alpha/0.0896)^{1.3} \quad (9)$$

که در آن AS مساحت کرت (m^2) و α شیب بر حسب درجه است.

¹ MUSLE for Soil Erosion

² Modified Universal Soil Loss Equation

³ Adapted Universal Soil Loss Equation



شکل ۱- موقعیت منطقه مورد مطالعه و شمای کلی پلات‌های آزمایشی

رگبارها طی پاییز ۱۳۷۴ تا شهریور ۱۳۷۸ به کمک نزدیکترین ایستگاه کلیماتولوژی منطقه صورت گرفت (۱).

برای بررسی کارایی روش‌های مورد استفاده، دوازده رگبار با اندازه‌گیری همزمان بارش، رواناب و رسوب با مشخصات مندرج در جدول ۱ جمع‌آوری و مورد استفاده قرار گرفتند (۱). اطلاعات مربوط به خصوصیات بارش با استفاده از ایستگاه باران‌سنج، E مقدار ارزی جنبشی رگبار نیز از طریق تجزیه و تحلیل کاغذهای باران‌نگار، مقدار ضریب رواناب هر رگبار با توجه به حجم رواناب حاصله و لحاظ مساحت کرت و تقسیم آن بر مقدار بارش و دبی اوج با استفاده از هیدروگراف مثلثی بدون بعد تعیین گردید (۶). در ادامه کلیه متغیرهای مورد نیاز مدل-های مختلف برآورد فرسایش خاک و تولید

تیپ گیاهی غالب منطقه مورد بررسی و طبعاً محل استقرار پلات‌ها *Astragalus-Hultemia* بوده که در حدود ۵۰٪ از سطح ایستگاه و عمدتاً اراضی دشتی و دامنه‌ای را پوشانده است. اراضی این تیپ دارای شیب خیلی کم تا ملایم و پوشش موجود نمایانگر تخریب و تبدیل به زراعت دیم بوده که در حال حاضر رها شده می‌باشد. پوشش متوسط این تیپ حدود ۴۶٪ بوده و ترکیب گیاهان موجود به ترتیب گون، ورک، فرفیون، *Platyloba* و جارو با دامنه پراکنش ۱۴ تا ۲۱ درصد است (۷).

در مرحله بعد نمونه‌های رسوب جمع-آوری شده از کاغذ صافی عبور، در داخل آون با دمای ۱۰۰ درجه سانتی‌گراد به مدت یک روز خشک و سپس وزن رسوب با ترازوی دقیق تعیین گردید. آماربرداری بارندگی کل

های مورد استفاده به جزء AUSLE برابر با واحد بوده حال آنکه مقدار مزبور برای AUSLE و به استناد رابطه (۹) برابر با ۱/۲۷۴ محسوب شد. مقدار C نیز برای تیمار مرتع با توجه به درصد پوشش کلی سطح زمین، ارتفاع و مناسب با وضعیت پوشش گیاهی در زمان وقوع رگبار در منطقه حدوداً ۰/۰۱۹ تا ۰/۰۷۲ تعیین گردید (۱). مقدار P نیز با توجه به عدم اعمال اقدامات حفاظتی برابر واحد در نظر گرفته شد.

مقدار فرسایش‌پذیری خاک نیز با توجه به کوتاه بودن دوره مورد مطالعه ثابت فرض گردید (۱۲). سپس مقایسه نتایج به دست آمده از روش‌های مختلف تخمین با یکدیگر و مقادیر مشاهدهای ناشی از رگبارها با استفاده از ماتریس همبستگی و آزمون‌های آنالیز واریانس و دانکن انجام شد. کلیه تجزیه و تحلیل‌های آماری با استفاده از نرم افزار SPSS11.5 و صفحه گسترده Excel انجام پذیرفت.

رسوب در کرت‌های مستقر در منطقه مرجعی مورد مطالعه محاسبه و در روابط مربوطه استفاده شد. مقادیر فرسایش برآورده با توجه به مساحت کوچک کرت‌ها برابر با رسوب فرض شده و برای ارزیابی کارایی آنها با مقادیر رسوب مشاهدهای ناشی از هر یک از رگبار مقایسه شد (۱۹).

از طرفی نظر به ثبات سایر شرایط حاکم بر کرت‌های مورد مطالعه شامل عوامل فرسایش‌پذیری خاک (K)، توپوگرافی (LS)، مدیریت زراعی (C) و مدیریت اراضی (P) و همچنین ارتباط مستقیم عامل توپوگرافی مدل USLE با مدل AUSLE، مقایسه‌های اصلی در رابطه با عامل فرسایندگی مدل‌های مذکور نیز صورت پذیرفت. مقادیر متفاوت R با توجه به روش مورد استفاده در روابط (۲) تا (۹) محاسبه شد. مقدار K با توجه به نوع بافت خاک و مطالعات خاکشناسی انجام شده برابر با ۰/۰۳۹ در سیستم متريک لحظ گردید. مقدار LS در کرت‌های استاندارد و برای کلیه روش

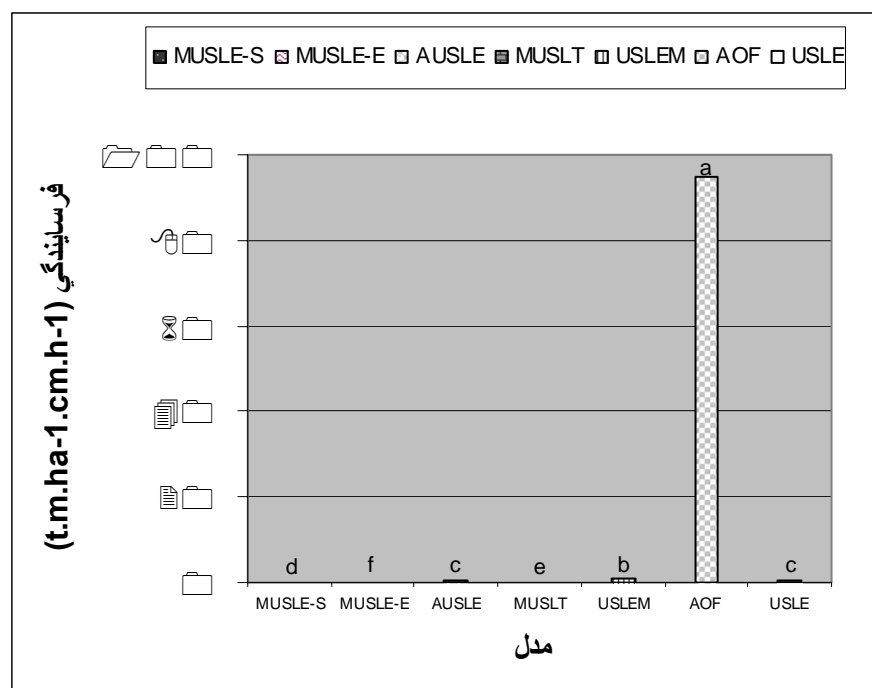
جدول ۱- مشخصات رگبارهای انتخابی در تحقیق (۱)

ردیف	تاریخ وقوع رگبار (روز)	مقادیر بارش (mm)	مدت بارش (h)	شدت نیمه ساعته (mm.h ⁻¹)	حجم رواناب (Liter)	دبی اوج (Liter.s ⁻¹)	رسوب مشاهدهای (Kg)
۱	۷۴/۱۲/۲۸	۱۱/۳	۲/۵	۴/۵	۸/۱۶۴۴	۰/۰۹۵	۱/۴
۲	۷۵/۱/۱۷	۱۴/۵	۱۰/۰	۳/۳	۷/۵۴۳۰	۰/۰۸۵	۰/۶
۳	۷۵/۱/۲۸	۱۰/۸	۱۰/۰	۱/۶	۲۲/۸۱۰۴	۰/۰۲۷	۴/۷
۴	۷۵/۲/۶	۱۱/۷	۳/۰	۶/۲	۹/۹۰۸۹	۰/۰۷۱	۴/۱
۵	۷۵/۲/۳۱	۵/۰	۶/۰	۱/۱	۱۱/۴۳۲۷	۰/۱۲۶	۱۸۳
۶	۷۵/۹/۴	۵/۰	۱/۰	۶/۰	۳/۲۶۳۲	۰/۲۸۴	۱/۴
۷	۷۵/۱۰/۳	۱۵/۰	۱۸/۰	۱/۹	۹/۸۹۲۳	۰/۱۱۸	۰/۹
۸	۷۶/۱/۱۶	۱۶/۰	۸/۰	۲/۸	۱۳/۷۷۰۹	۰/۱۶۸	۲/۰
۹	۷۶/۲/۸	۸/۲	۳/۰	۳/۲	۵/۴۰۴۹	۰/۰۶۷	۲/۰
۱۰	۷۶/۲/۱۵	۱۰/۸	۷/۲۰	۲/۳	۶/۶۸۶۲	۰/۰۷۸	۱/۴
۱۱	۷۶/۲/۲۷	۱۱/۴	۱۰/۱	۲/۳	۳/۲۰۱۲	۰/۰۴۱	۲/۰
۱۲	۷۷/۱/۱۶	۳۷/۷	۳۲/۵	۵۴	۱۷/۰۴۲۴	۰/۱۹۹	۲/۰

نتایج

متغیر مذکور توسط مدل‌های مختلف از طریق تشکیل ماتریس همبستگی و آزمون آنالیز واریانس انجام و نتایج مربوطه در شکل ۲ نمایش داده شده است.

نظر به تفاوت عمدۀ مدل‌های USLE، MUSLE-E، MUSLT، AOF، MUSLE-S و AUSLE در تخمین عامل فرسایندگی، مقایسه لازم بین برآوردهای



شکل ۲ - مقایسه مقادیر فرسایندگی محاسبه‌ای از روش‌های مختلف در تیمار مرتع

همچنین مقادیر رسوب تخمینی هر یک از روش‌های مورد استفاده و نتایج بررسی ارتباط همبستگی عامل فرسایندگی (R) و مقدار رسوب برآورده ناشی از رگبارها نیز محاسبه و به ترتیب در جداول ۲ و ۳ ارائه شده است.

همچنین با توجه به تفاوت معنی‌دار مقادیر فرسایندگی محاسبه شده توسط هر یک از روش‌ها، آزمون حداقل مربع اختلافات^۱ برای طبقه‌بندی دقیق آنها استفاده و نتایج به دست آمده در شکل ۲ نشان داده شده است.

¹ Least Square Difference, LSD

جدول ۲- مقایسه مقادیر رسوب تخمینی مدل‌های مختلف فرسایش خاک با رسوب مشاهده‌ای

مشاهده‌ای	MUSLE-S	MUSLE-E	AUSLE	MUSLT	USLEM	AOF	USLE	تاریخ رگبار	ردیف
۰/۰۰۱۴	۰/۰۰۰۰۱۳	۰/۰۰۰۰۰۹	۰/۰۰۲۲۶۳	۰/۰۰۰۰۶۳	۰/۰۰۰۰۱۱	۰/۰۰۲۶۶۲۸	۰/۰۰۰۰۵۶۲	۷۴/۱۲/۲۸	۱
۰/۰۰۰۶	۰/۰۰۰۰۸۵	۰/۰۰۰۰۰۶	۰/۰۰۲۱۴۶	۰/۰۰۰۰۴۲	۰/۰۰۰۰۲۲	۰/۰۰۳۲۹۸۱۵	۰/۰۰۰۰۱۶۸۵	۷۵/۱/۱۷	۲
۰/۰۰۴۷	۰/۰۰۰۰۲	۰/۰۰۰۰۱۴	۰/۰۰۰۰۳۹۳	۰/۰۰۰۰۰۸۷	۰/۰۰۰۰۱۴۸۸	۰/۰۰۱۲۴۷۲۲	۰/۰۰۰۰۰۳۰۹	۷۵/۱/۲۸	۳
۰/۰۰۴۱	۰/۰۰۰۰۰۳	۰/۰۰۰۰۰۲۱	۰/۰۰۱۲۰۸	۰/۰۰۰۰۰۱۲	۰/۰۰۰۰۱۶۳	۰/۰۰۰۰۰۹۸۸۲۸	۰/۰۰۰۰۰۹۴۸	۷۵/۲/۶	۴
۰/۱۸۳	۰/۰۰۰۰۰۴۷	۰/۰۰۰۰۰۵۷	۰/۰۰۰۰۰۶	۰/۰۰۰۰۰۲۲	۰/۰۰۰۰۰۴۵	۰/۰۰۰۰۰۲۷۴۱۸	۰/۰۰۰۰۰۴۷	۷۵/۲/۳۱	۵
۰/۰۰۱۴	۰/۰۰۰۰۱۷	۰/۰۰۰۰۰۱۱	۰/۰۰۰۱۹۹۴	۰/۰۰۰۰۰۸	۰/۰۰۰۰۰۷۸	۰/۰۰۰۱۶۸۵۹۲	۰/۰۰۰۱۵۶۶	۷۵/۹/۴	۶
۰/۰۰۰۹	۰/۰۰۰۰۰۱۶	۰/۰۰۰۰۰۱۱	۰/۰۰۰۱۵۵۹	۰/۰۰۰۰۰۷۷	۰/۰۰۰۰۰۵۹۵	۰/۰۰۰۱۴۶۲۳۵	۰/۰۰۰۱۲۲۴	۷۵/۱۰/۳	۷
۰/۰۰۰۲	۰/۰۰۰۰۰۱۷	۰/۰۰۰۰۰۱۲	۰/۰۰۰۱۷۹۷	۰/۰۰۰۰۰۸	۰/۰۰۰۰۰۳۰۵۴	۰/۰۰۰۰۰۳۲۵۵۷۸	۰/۰۰۰۱۴۱۱	۷۶/۱/۱۶	۸
۰/۰۰۰۲	۰/۰۰۰۰۰۲۲	۰/۰۰۰۰۰۱۵	۰/۰۰۰۰۰۳۴۹	۰/۰۰۰۰۰۱	۰/۰۰۰۰۰۴۲۲	۰/۰۰۰۰۰۵۵۳۴۸	۰/۰۰۰۰۰۲۷۴	۷۶/۲/۸	۹
۰/۰۰۱۴	۰/۰۰۰۰۰۲۶	۰/۰۰۰۰۰۰۲	۰/۰۰۰۰۰۶۱	۰/۰۰۰۰۰۱۳	۰/۰۰۰۰۰۷۶۳	۰/۰۱۴۳۶۰۹	۰/۰۰۰۰۰۵۱۱	۷۶/۲/۱۵	۱۰
۰/۰۰۰۲	۰/۰۰۰۰۰۱۲	۰/۰۰۰۰۰۰۸	۰/۰۰۰۰۰۳۲۱	۰/۰۰۰۰۰۰۶۷	۰/۰۰۰۰۰۱۶۳	۰/۰۰۰۰۰۷۶۱	۰/۰۰۰۰۰۲۵۲	۷۶/۲/۲۷	۱۱
۰/۰۰۰۲	۰/۰۰۰۰۰۲۲	۰/۰۰۰۰۰۱۵	۰/۰۰۰۱۸۷	۰/۰۰۰۰۰۹۷	۰/۰۰۰۰۰۵۹۶	۰/۰۰۰۰۰۶۷۵۳۵	۰/۰۰۰۰۰۵۶۴۴	۷۷/۱/۱۶	۱۲

جدول ۳- ماتریس همبستگی بین مقادیر فرسایندگی محاسبه‌ای در مدل‌های مختلف و مقدار رسوب مشاهده‌ای

مشاهده‌ای	USLE	AOF	USLE-M	MUSLT	AUSLE	MUSLE-E	MUSLE-S	مدل‌ها
۰/۰۴۶	۰/۲۰۰	-۰/۳۱۶	۰/۳۲۸	۰/۹۹۶**	۰/۲۰۰	۰/۱۴۹	۱	MUSLE-S
۰/۹۹۴**	-۰/۲۸۶	-۰/۴۶۸	-۰/۳۲۳	۰/۱۸۹	-۰/۲۸۶	۱	-	MUSLE-E
-۰/۳۱۳	۱/۰۰۰**	-۰/۱۵۹	۰/۷۹۰**	۰/۲۵۶	۱	-	-	AUSLE
۰/۰۹۶	۰/۲۵۶	-۰/۱۸۰	۰/۴۲۲	۱	-	-	-	MUSLT
-۰/۳۶۳	۰/۷۹۰**	۰/۱۱۵	۱	-	-	-	-	USLE-M
-۰/۴۴۱	-۰/۱۵۹	۱	-	-	-	-	-	AOF
-۰/۳۱۳	۱	-	-	-	-	-	-	USLE
۱	-	-	-	-	-	-	-	مشاهده‌ای

** سطح معنی داری ۱٪ و * سطح معنی داری ۵٪

(۱۳۸۴) در حوزه آبخیز امامه مطابقت دارد (۴). مقادیر به دست آمده از روش‌های USLE و AUSLE نیز به دلیل تشابه روش محاسبه R و اختلاف آنها در توپوگرافی یکسان است. همچنین مقادیر رسوب تخمینی هر یک از روش‌های مورد استفاده نشان می‌دهد که اختلاف بین مقادیر تخمینی مدل‌های مختلف برآورد فرسایش یا تولید رسوب با مقادیر رسوب مشاهده‌ای معنی‌دار بوده و تنها مدل MUSLE-E قادر بوده است که تخمین‌های مناسبی از رسوب مشاهده‌ای با ضریب

بحث و نتیجه‌گیری

نتایج حاصل از مقایسه برآوردهای متغیر فرسایندگی باران در مدل‌های مورد بررسی در شکل ۲ و اختلاف مقادیر فرسایندگی محاسبه شده توسط هر یک از روش‌ها با استفاده از آزمون حداقل مربع اختلافات نشان می‌دهد که مقادیر عامل فرسایندگی به دست آمده از روش‌های مختلف، اختلاف معنی‌دار با یکدیگر داشته و مدل AOF بالاترین مقدار فرسایندگی در بین مدل‌های مورد مقایسه را برآورد نموده است که با نتایج به دست آمده توسط صادقی

مذکور برای منطقه مرتوعی مورد نظر را دارد که با پیشنهاد صادقی (۱۳۸۴) در رابطه با واسنجی مدل مذکور برای دستیابی به تخمین‌های مناسب در برآورد رسوب رگبارها در حوزه آبخیز امامه هماهنگی دارد.^(۴)

تحقیق حاضر به منظور بررسی دقیق برخی از روش‌های برآورد فرسایش خاک و تولید رسوب در مرتوع به عنوان یکی از مهم ترین اکوسیستم‌های موجود در کشور انجام شده است. از نتایج به دست آمده درخصوص مقایسه، کاربرد و توانایی روش‌های مختلف تخمین عامل فرسایندگی در مدل‌های فرسایش خاک و تولید رسوب شامل USLE, MUSLE-E, MUSLT, AOF, MUSLE-S, AUSLE-M و USLE می‌توان جمع‌بندی نمود که روش‌های یاد شده به رغم همبستگی بالا با یکدیگر دارای اختلاف معنی‌داری با مقادیر مشاهده‌ای رسوب بوده و در این میان تنها مدل MUSLE-E همبستگی بالایی با رسوب مشاهده‌ای از خود نشان داده و طبعاً قادر به برآورد مناسب از مقادیر رسوب تولیدی طی رگبارها در حوزه مرتوعی مورد مطالعه خواهد بود. وجود اختلاف معنی دار بین نتایج به دست آمده از روش‌های گوناگون دلالت بر ضرورت انجام واسنجی‌های لازم در هنگام استفاده از روش‌های موجود و یا تهییه مدل‌های منطقه‌ای تخمین عامل فرسایندگی دارد. از این رو انجام تحقیقات گسترده‌تر با مقدار بیشتر رگبارها در تیپ‌های مختلف مرتوعی و مجهز به وسایل دقیق اندازه‌گیری پیشنهاد و تاکید می‌شود.

همبستگی بالای ۰/۹۲۴ را ارائه نماید (جدول ۲). همچنین نتایج بررسی ارتباط همبستگی عامل فرسایندگی (R) و مقدار رسوب برآورده ناشی از رگبارها تائید می‌نماید که مدل‌های مورد استفاده از همبستگی بالایی با یکدیگر برخوردار بوده حال آن که همبستگی آنها با مقادیر مشاهده‌ای رسوب بهجز مدل MUSLE-E (۰/۹۹۴) بسیار کم می‌باشد. دلیل این امر را می‌توان به شباهت کلی روند محاسباتی و تاکید مدل‌های مختلف بر تخمین میزان فرسایندگی باران نسبت داد. اگر چه مقدار همبستگی بین مدل AUSLE و مقادیر مشاهده‌ای علیرغم تغییر در روش محاسبه عامل توپوگرافی همچنان پایین و در حدود ۳۱٪ می‌باشد که با نتیجه به دست آمده توسط ویلیامز و برنت (۱۹۷۷) مبنی بر توانایی بسیار کم رابطه جهانی فرسایش خاک در برآورد رسوب رگبارها همخوانی دارد. اما با نتایج به دست آمده توسط صادقی (۱۳۸۴)، ویلیامز و برنت (۱۹۷۷)، صادقی و همکاران (۲۰۰۳)، موهان سیاه و همکاران^(۱) و کینل (۲۰۰۵) به ترتیب در رابطه با توانایی USLE, AOF, MUSLE-S و AUSLE مدل M مطابقت ندارد که این موضوع شاید به دلیل استفاده از مدل‌های ذکر شده در کرت استاندارد باشد (۴، ۱۲، ۲۱، ۱۵ و ۲۳). گفتنی است که مقدار ضریب همبستگی مدل AOF با مقادیر مشاهده‌ای در حدود ۴۴٪ بوده که در MUSLE-E رتبه دوم تطابق نسبت به روش قرار گرفته و دلالت بر امکان واسنجی مدل

^۱ - Moehansyah *et al*

مرکزی تهیه و در اختیار قرار گرفته است.
بدینوسیله از خدمات و همکاری‌های ارزنده
ایشان و مرکز مزبور قدردانی می‌گردد.

سپاسگزاری
داده‌های استفاده شده در این مقاله توسط
آقای مهندس حشمت‌الله آقارضی از مرکز
تحقیقات کشاورزی و منابع طبیعی استان

منابع

۱. آقارضی، حشمت‌الله، ۱۳۸۴. اندازه‌گیری فرسایش خاک و برآورد آن با USLE در دیم‌زارها، مجموعه مقالات سومین همایش ملی فرسایش و رسوب، ۹-۶ شهریور، ۱۳۸۴، ۴۷۵-۴۷۳.
۲. رفاهی، حسینقلی، ۱۳۷۹. فرسایش آبی و کنترل آن. انتشارات دانشگاه تهران، چاپ سوم، ۵۵۱ ص.
۳. شاهویی، سیدصابر، ۱۳۷۱. رابطه میزان فرسایش با عوامل موثر در طول یک رگبارش، گزیده مقالات سومین کنگره علوم خاک ایران، ۱۵-۱۷ شهریور ۱۳۷۱، ۴۱-۵۶.
۴. صادقی، سیدحمیدرضا، ۱۳۸۴. مقایسه برخی از روش‌های برآورد فرسایندگی باران، مجله علوم و صنایع کشاورزی، ۱۹ (۱): ۴۵-۵۲.
۵. صادقی، سیدحمیدرضا و مرتضی بهزادفر، ۱۳۸۳. تغییرات مکانی فرسایندگی باران در استان مازندران، پژوهشنامه علوم کشاورزی و منابع طبیعی خزر، ۲ (۱): ۳۶-۴۹.
۶. علیزاده، امین، ۱۳۸۰. هیدرولوژی کاربردی. انتشارات دانشگاه امام رضا، ۵۷۰ ص.
۷. گندمکار، علی‌اکبر، ۱۳۷۵. گزارش طرح تحقیقاتی ایستگاه خسپیجان، استان مرکزی، ۳۱-۳۶.
8. Bennett, H. H., 2001. Soil conservation, Agrobios, New Delhi, 993pp.
9. Brooks, K. N., P. F. Ffolliott, H. M. Gregersen & J. L. Thamess, 1996. Hydrology and the Management of Watersheds. Iowa State University Press, Ames, Iowa.
10. Kinnell, P. I. A., 2001. The USLE-M and modeling erosion within catchment, In: D. E. Slott, R. H. Mohtar & G. C. Steinhardt(eds), selected paper from 10th International Soil Conservation Organization Meeting, May 24-29, 1999, Purdue University and the USDA-ARS National Soil Erosion Research Laboratory.
11. Kinnell, P. I. A., 2004. Agriculture non point source pollution model using the USLE-M. AGNPS-UM User's Guide, University of Canberra, Australia. 8pp.
12. Kinnell, P. I. A., 2005. Why the universal soil loss equation and the revised version of it do not predict event erosion well, Hydrological Processes, 19: 851-854
13. Kinnell, P. I. A. & L. M. Risse, 1998. USLE-M: Empirical modeling rainfall erosion through runoff and sediment concentration, Soil Science Society American Journal, 62: 1667-1672.
14. Laflen, J. M., & W. C. Moldenhauer, 2003. The USLE story, Special Publication No WASPC, 54pp.
15. Moehansyah, H., B. L. Maheshwari & J. Armstrong, 2004. field evaluation of selected soil erosion models for catchment management in Indonesia, Biosystems Engineering, 88(4): 491-506

16. Nikas, A. D., R. D. Williams, J. R. Williams & G. A. Gander, 1994. Estimation soil erosion with models having different technologies. In: Proc. 25th Annual Conf. Intl. Soil Erosion Control Assoc., Reno, NV, February 15-18, 1994, 51-61.
17. Onstad, C. A. & G. R. Foster, 1975. Erosion modeling on a watershed. Transaction of the ASAE, 18(2): 288-292.
18. Ozhan, S., N. Balc, N. Ozyuvaci, A. Hızal, F. Gokbulak & Y. Serengil, 2005. Cover and management factors for the Universal Soil-Loss Equation for forest ecosystems in the Marmara region, Turkey, Forest Ecology and Management 214: 118–123.
19. Sadeghi, S. H. R., J. K. Singh & G. Das, 2004. Efficacy of annual soil erosion models for storm-wise sediment prediction, Iran. International Agriculture Engineering Journal, 13(1&2): 1-14.
20. Sadeghi, S. H. R. & M. Behzadfar, 2004. Temporal Variation of Rainfall Erosivity Factor in Mazandaran Province. Iran, In: The Fourth International Iran and Russia Conference on Agriculture and Natural Resource, Shahre Kord, Iran, Sep. 8-10, 2004: 1280-1285.
21. Sadeghi, S. H. R., J. K. Singh & G. Das, 2003. Storm-wise sediment yield prediction using applicable models in Iran. Journal of Agriculture Sciences and Natural Resources of Kazar, 1(3): 83-94.
22. Williams, J. R. & H. D. Berndt, 1972. Sediment yield computed with universal equation. Journal of Hydraulic Division, Proceeding of the American Society of Civil Engineers, 98(HY12): 2087-2098.
23. Williams, J. R. & H. D. Berndt, 1977. Sediment yield prediction based on watershed hydrology. Transaction of the ASAE, 20(6): 1100-1104.
24. Wischmeier, W. H. & D. D. Smith, 1965. Predicting rainfall- erosion losses from cropland, East of the Rocky Mountains, Agriculture Handbook 282, USDA-ARS.
25. Wischmeier, W. H. & D. D. Smith, 1978. Predicting rainfall erosion losses guide to conservation planning. USDA, Agricultural Handbook No. 537, Washington. USA.

Comparison of Accuracy of Some Soil Erosion and Sediment Yield Models in Rangeland

S.H.R. Sadeghi¹, H.R. Pourghasemi² & M. Mohammadi²

Abstract

The accurate data is essential for proper designing of soil and water conservation structures. The development and/or recognition of accurate techniques based on available data is also necessary for engineers and managers, since the sediment measurement is not taken place in many watersheds. In the present study, an attempt has been made to assess the applicability of some erosion and sediment yield models viz. USLE, MUSLE-S, AOF, MUSLT, MUSLE-E, USLE-M and AUSLE in estimation of storm-wise sediment yield from standard plots in rangeland. For this propose, the entire input data were collected from three plots installed in Khosbijan Natural Resources Research Station in Arak township. The models' estimates were then compared with observed sediment data for 12 storm events. The results of the evaluation verified the significant difference among models in estimation of erosivity index. Besides that, the significant correlation was recognized only between MUSLE-E and observed sediment data with correlation coefficient of 99.4%.

Keywords: Erosivity, Soil Erosion Models, Sediment Estimation, Erosion Plots, Rangeland

¹- Associate Professor, Tarbiat Modares Univ., E-mail: sadeghi@modares.ac.ir

² - M.Sc. Students, Tarbiat Modares University